

# SiO<sub>2</sub>/SiO 界面能级位移光电子能谱的研究\*

陈立春 刘先明<sup>①</sup> 邓振波 徐叙瑢

(天津理工学院材料物理研究所, 天津 300191; ① 中国科学技术大学表面分析开放实验室, 合肥 230026)

关键词 光电子能谱 界面 能带位移

我们在薄膜电致发光(TFEL)器件中使用予热层、加速层及发光层分层优化的方案, 予热层除提供电子外, SiO<sub>2</sub>/SiO 界面的能级位移将决定薄膜场致发光器件中予热能否奏效。尽管半导体界面能级位移的研究已相当成熟, 对于较好的研究体系, 界面能级位移的研究结果误差不超过 0.2~0.3 eV<sup>[1]</sup>, 但像 SiO<sub>2</sub>/SiO 界面能级位移的研究很少, 因为 SiO<sub>2</sub>, SiO 是非晶, 它们的组分又比较复杂, SiO<sub>2</sub> 和 SiO 之间界面的偶极矩难以确定, 因而利用计算方法确定这种能带位移是不可能的。这一数据只能通过直接的实验获得。利用电子束蒸发的方法制备了样品, 然后将样品送入光电子能量分析器中的分析室中, 利用该分析室中的 Ar<sup>+</sup> 枪对样品进行剥离, 每隔一定时间测量样品表面的芯态光电子能谱(XPS)和价带光电子能谱(UPS), 直至样品已被剥离过了 SiO<sub>2</sub>/SiO 界面。由于 SiO<sub>2</sub> 和 SiO 的界面能级位移较大, 这在一定程度上弥补了由选则溅射引起的影响<sup>[2]</sup>。

## 1 样品的制备和测量

UPS 和 XPS 的激发源分别是 He I ( $h\nu=21.2\text{ eV}$ ), Al K $\alpha$  ( $h\nu=1486.6\text{ eV}$ )。接收系统是 ESCALAB MK II 型光电子能量分析器, 该分析器的测量室中配有 Ar<sup>+</sup> 枪, Ar<sup>+</sup> 的能量为 3 keV, Ar<sup>+</sup> 束流为 40 nA, Ar<sup>+</sup> 束的光斑面积大于整个样品。利用 Ar<sup>+</sup> 对样品进行剥离处理, 测量不同深度的 XPS 和 UPS 谱。

样品是利用热电子束加热方法制备的, 薄膜沉积在 Si 单晶的 (111) 面上, SiO 的厚度为 5.0 nm, SiO<sub>2</sub> 的厚度为 2.0 nm, 沉积室的真空中度为  $P=2\times10^{-4}\text{ Pa}$ , 衬底真空度为 275°C 在样品底面的 Si 片上再沉积一层 Al, 以增加样品与分析器中样品架间的电导。样品和样品架间的接触为欧姆接触, 所以仪器的费米能级可以用来标定所有光电子能谱的零点结合能。SiO<sub>2</sub> 和 SiO 是非常薄的, 样品表面和样品基片间的电导很大, 这样可减少 Ar<sup>+</sup> 离子剥离时在样品表面产生的电荷积累, 减少选测溅射的影响<sup>[2]</sup>。

## 2 结果与分析

### 2.1 样品界面位置的确定

若样品是原位制备的, 样品中薄层间的界面位置是很容易确定的。但如果样品是非原位

1993-11-06 收稿, 1994-09-26 收修改稿

\* 中国科学技术大学表面分析开放实验室和国家自然科学基金, 天津市 21世纪青年科学基金资助项目

沉积的,其界面的确定就复杂得多。在后一种情况下通常采用剥离法,即用  $\text{Ar}^+$  剥离样品表面,每隔一定时间测一次 XPS 或俄歇光电子谱(AES)。界面位置是根据不同膜层的元素组分比确定,而元素的组分则由 XPS 或 AES 中相应的元素的光电子谱积分而得。

我们样品的结构是  $\text{SiO}_2/\text{SiO}/\text{Si}$ , 用于剥离样品表面的  $\text{Ar}^+$  束斑面积大于  $1 \text{ cm}^2$ , 覆盖整个样品。每当用  $\text{Ar}^+$  剥离样品 30 min 测量一次价带电子谱(UPS)和壳层电子谱(XPS), 直至样品的第二层薄膜出现。不同剥离时间的壳层电子能谱如图 1 所示。利用 Si, O 的 XPS 谱进行积分得出  $\text{SiO}_2/\text{SiO}/\text{Si}$  样品的组分随其膜厚的变化, 其结果如图 2 所示, 图 2 中的结果是归一化的。从图 2 可以看出 O/Si 的比值从第一次剥离时的 3 变化到第九次剥离的 1, 从图中可以看出这个比值的变化是渐近的, 这极有可能是由于氧扩散引起的。我们注意到在第七次剥离时氧的含量明显地增大。我们认定该薄离层的位置是  $\text{SiO}_2/\text{SiO}$  界面位置。其原因是这样的, 我们沉积  $\text{SiO}$  或  $\text{SiO}_2$  时, 真空度一般是在  $2 \times 10^{-4} \text{ Pa}$ , 氧在这样的真空度下也可沉积<sup>[7]</sup>。在沉积  $\text{SiO}_2$  和  $\text{SiO}$  之间有一个时间间隔大约 10 min 左右, 在这个时间间隔里足以单层氧原子<sup>[8]</sup>。这层氧原子也会扩散, 但在界面处的氧含量将高于界面附近的薄膜。从图 2 还可看出由于氧的扩散使界面区域增大。

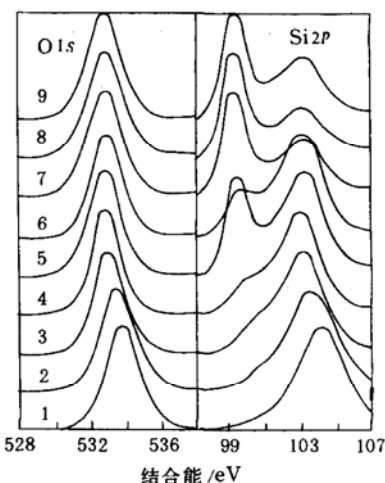


图 1 样品中 O 1s 和 Si 2p 的壳层电子能谱(XPS)  
随  $\text{Ar}^+$  激发次数的关系  
XPS 激发源为  $\text{Al K}\alpha$  ( $h\nu = 1486.6 \text{ eV}$ )

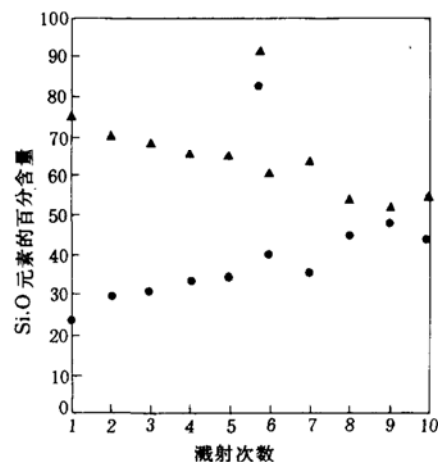


图 2  $\text{SiO}_2/\text{SiO}/\text{Si}$  样品中 Si, O 元素的百分含量与溅射次数的关系  
每次溅射条件为  $\text{Ar}^+$  能量  $3 \text{ keV}$ , 束流  $40 \text{ nA}$ , 时间  $15 \text{ min}$ 。Si, O 元素的百分比是根据所测的壳层电子能谱而得, ▲ 为 O, ● 为 Si

## 2.2 薄膜结构

从图 1 中可以看出 O 1s 的 XPS 谱, 该峰值随着剥离层深度的不同, 逐渐向低结合能方向移动, 但这种移动在第七次和第九次剥离之间是很小的。O 1s 可以用来监视由于  $\text{SiO}_2$  覆盖引起的能带位移, 因为 O 在  $\text{SiO}_x$  ( $0 \leq x \leq 2$ ) 占据类似的化学环境, 在 O 1s 中的展开项中第一项没有化学位移<sup>[3]</sup>。这样从图 1 可以得到由于  $\text{SiO}_2$  覆盖引起的能带位移为  $0.9 \text{ eV}$ 。Si 2p 壳层电子能谱是比较复杂的, 如图 1 所示。它的能谱重心随着剥离时间的增加而向低结合能方向移动, 同时在低结合能方向又出现一些新的峰。文献报道了在  $\text{SiO}_2$  ( $0 \leq x \leq 2$ ) 中, Si 2p 的 XPS

谱是5个峰的叠加而成。这5个峰对应于5种可能的四面体结构 $\text{Si}-(\text{Si}_x\text{O}_{4-x})$ 的 $\text{Si}\ 2p$ 的XPS谱峰<sup>[4]</sup>。 $\text{Si}\ 2p$ 的XPS谱峰从低结合能99.5 eV到结合能104.0 eV，对于其四面体从 $\text{Si}-\text{Si}_4$ 到 $\text{Si}-\text{O}_4$ 四面体；且其能量间隔是相同的<sup>[4]</sup>，根据这一结果可知，在最初剥离的前三层中，薄膜主要是由 $\text{Si}-\text{O}_4$ 组成，但也有少量其他成分，在第4次剥离以后的膜层中， $\text{Si}\ 2p$ 的XPS谱峰向低结合能方向移动，并由5种成分叠加而成，且在3次的剥离层中相应于 $\text{Si}-\text{Si}_4$ 四面体的 $\text{Si}\ 2p$ 占较大的比重。根据这一测量结果可知 $\text{SiO}_2/\text{SiO}/\text{Si}$ 样品的薄膜的组分较为复杂，在样品表面其组分主要是 $\text{Si}-\text{O}_4$ 四面体组成，呈现 $\text{SiO}_2$ 结构。在以后剥离的薄膜中，薄膜是由5种四面体组成的混合结构，随着剥离时间的增大，对应于 $\text{Si}-\text{Si}_4$ 四面体的 $\text{Si}\ 2p$ 峰增大，即在这些膜层中其基本结构为 $\text{Si}-(\text{Si}_n\text{O}_{4-n})$ ( $n=1, 2, 3$ )的混合结构。

### 2.3 $\text{SiO}_2/\text{SiO}$ 界面的价带电子能谱

图3给出了样品每一次剥离后的价电子能谱。可以看出随着剥层深度的增加，价电子谱的顶端趋近费米能级。首先我们看一下价带谱峰的归属， $\text{SiO}_2$ 的价带电子谱有3个峰和一个“前沿”，这3个分别标定为O-I、O-II和O-III，前沿标为LE(leading edge)。O-I位于 $E_F-7.5$  eV，相应于 $\text{O}\ 2p$ 非成键电子状态，O-II和O-III对应于O和 $\text{Si}\ 3p$ ， $\text{Si}\ 3s$ 成键的 $\text{O}\ 2p$ 电子，具有较强的极性。LE位于 $E_F-2.4$  eV，是 $\text{Si}\ 3p$ 的孤立电子成键状态。从图3我们注意到，随着剥层的加深LE强度增大，且能量位置向低结合能方向移动。O-I峰位置随着剥层的加深，也向低结合能方向移动，且峰强也随之降低。从文献[3, 4]中我们了解到 $\text{SiO}_x$ 的导电是通过 $\text{Si}-(\text{Si}_n\text{O}_{4-n})$ 四面体进行。当 $x \leq 1.5$ 时，导电主要通过 $\text{Si}-\text{Si}_4$ 四面体进行。当 $x \geq 1.5$ 时，导电主要通过 $\text{Si}-\text{O}_4$ 四面体进行。从我们的实验也可以看出，在 $\text{SiO}_2$ 薄膜的最外表面LE的强度很弱，而O-I很强，说明 $\text{SiO}_2$ 的价带是由O-I的电子能带组成。在 $\text{SiO}$ 薄膜中LE变强，O-I变弱，说明该薄膜中的价带是由 $\text{Si}\ 3p$ 电子能带组成，这一结果与文献[5]中的结论一

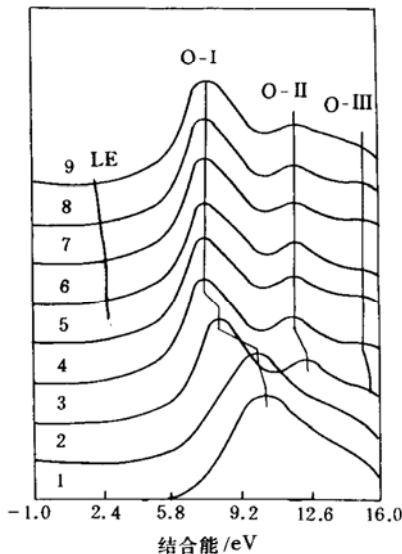


图3 样品的价电子能谱(UPS)随 $\text{Ar}^+$ 溅射次数的变化  
UPS激发源为He II ( $h\nu=21.1$  eV)

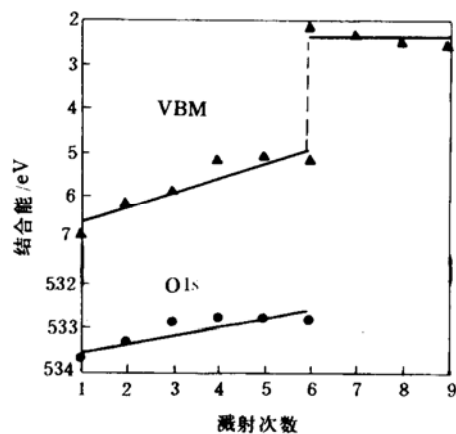


图4 样品的价带顶(VBM)及O 1s壳层电子能级位置随溅射次数的关系

致。因而在界面以外的  $\text{SiO}_2$  薄膜中取 O-I 的切线与基线的交点作为  $\text{SiO}_2$  薄膜的价带顶 (VBM)，在 SiO 薄膜中取 LE 与基线的交点为 SiO 薄膜的价带顶。 $\text{SiO}_2/\text{SiO/Si}$  样品的价带顶及 O1s 谱随剥离深度的变化如图 4 所示。从图 4 可以看出， $\text{SiO}_2/\text{SiO}$  界面能级位移为 2.0 eV，由于覆盖引起的能带弯曲为 0.9 eV，另外我们还注意到  $\text{SiO}_2$  部分 VBM 的弯曲比由 O1s 监测的能带弯曲大，其原因是 O/Si 比值在  $\text{SiO}_2$  膜层内逐渐变化引起其价带顶位置移动。由于组分变化引起的能带弯曲为 0.9 eV。

### 3 结论

在  $\text{SiO}_2/\text{SiO}$  界面附近，由于扩散的原因使 O/Si 比值在界面附近的没有变化，同时  $\text{SiO}_2$  和 SiO 薄膜内存在 5 种 Si 氧化物的四面体结构， $\text{SiO}_2/\text{SiO}$  界面处的能级位移为 2.0 eV，由于组分变化引起的  $\text{SiO}_2$  膜内的能级位移为 0.9 eV，覆盖引起的能级位移也为的 0.9 eV。

### 参 考 文 献

- 1 Margaritondo G, Perfetti P. Heterojunction Band Discontinuities. Amsterdam: North Holland, 1987, 72~90
- 2 Mizutani T. Preferential sputtering of oxygen from  $\text{SiO}_2$  by low energy ion beam and neutral beam bombardment. Jap J Appl Phys, 1991, 30(4A): L628~631
- 3 Hasegawa S, He L, Inokuma T et al. Analysis of photoemission in amorphous  $\text{SiO}_x$  and  $\text{SiN}_x$  alloys in terms of a charge transfer model. Phys Rev B, 1992, 46(19): 12478~12484
- 4 Fischer B, Pollak R A, Distefano T H et al. Electronic structure of  $\text{SiO}_2$ ,  $\text{Si}_x\text{Ge}_{1-x}\text{O}_2$ , and  $\text{GeO}_2$  from photoemission spectroscopy. Phys Rev B, 1977, 15(6): 3193~3199
- 5 Distefano T H, Eastman D E. Photoemission measurement of the valence levels of amorphous  $\text{SiO}_2$ . Phys Rev Lett, 1977, 37(23): 1560~1562
- 6 Maosheng M, Mingrong J. Studies of oxygen adsorption and initial oxidation on single crystal  $\text{Mn}_5\text{S}_3$  (111) surface. Vacum Science and Technology (China), 1992, 12(2~3): 255~257
- 7 Young P L, Bevolo A J, Devid W L. Studies of the initial oxidation of Fe-Si alloys. Surface Science, 1987, 188: 267~287